磁悬器列华工作原理

陈述人:郑文琛

pb02011062

(一)应用背景

- •1922 Hermann Kemper提出 电磁悬浮原理
- •1970's,工业化发展
- 要求提高运输能力

轮轨极限速度

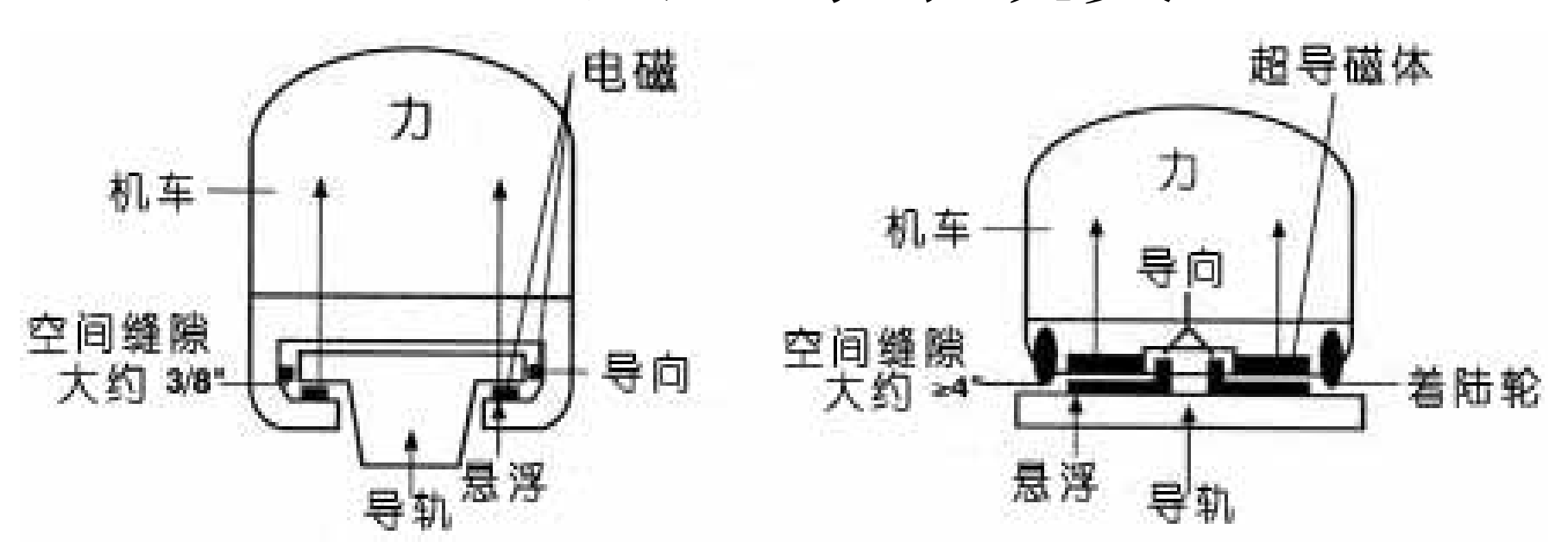
 $V \le 350 \text{km/h}$



非接触式运输系统 ————— 磁悬浮列车



(二) 磁悬浮系统类型



- ▶ 电磁悬浮系统 (Electro Magnetic System):依靠在机车上的电磁铁和导轨上的铁磁轨道相互吸引产生悬浮,属吸力悬浮系统,并主要应用于德国常导磁悬浮列车系列.(左图)
- ▶ 电力悬浮系统 (Electro Dynamic System):将磁铁使用在运动的机车上以在导轨上产生感应电流,进而产生电磁斥力以支撑和导向列车.属斥力悬浮系统,并主要应用于日本超导磁悬浮列车系列.(右图)

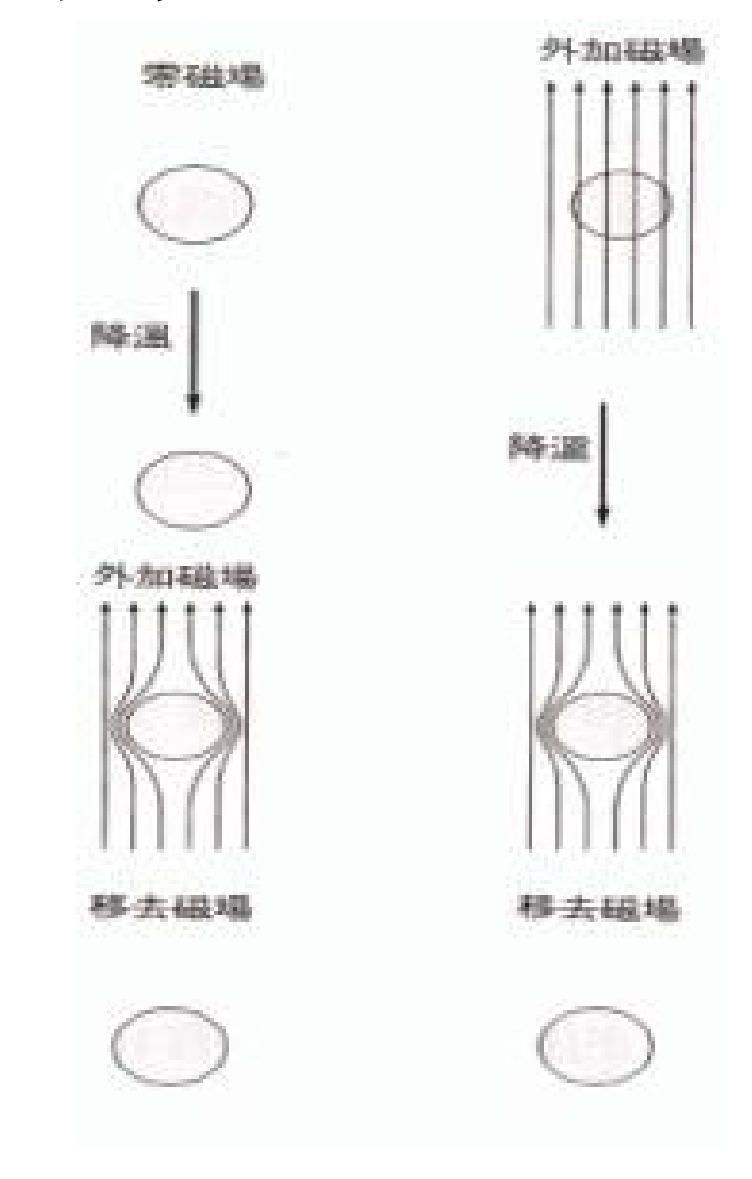
(三)工作原理

磁悬浮列车大体可分为三个部分:

- 1. 悬浮系统:主要依靠轨道底部线圈和车载电磁铁之间产生电动斥力来实现.
- 2. 导向系统:主要依赖于轨道侧壁线圈和车载电磁铁相互作用来实现.
- 3. 动力系统:根据Maxwell电磁场动力学理论, 采用直线电机作为动力系统,并借助于在运行过程中产生电磁推力来推动和维持列车运行.

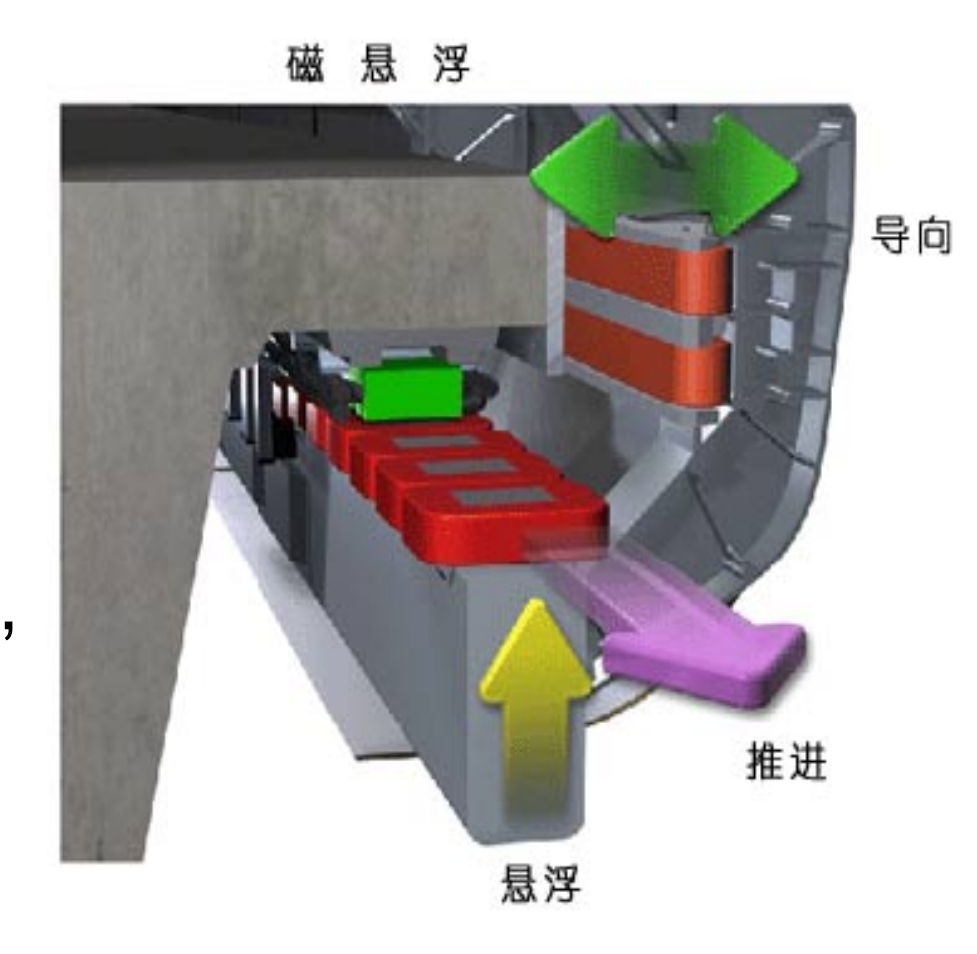
1.悬浮系统

- Meissner效应:当金属处在超导状态时,超导体表面产生成产生感应电流,进而产生附加磁场与外部磁场抵消,内部的磁感应强度为零.此时附加场和外部场相作用产生的电磁斥力可以将超导体悬起.
- 超导体的两个重要特性: 零电阻和抗磁性。



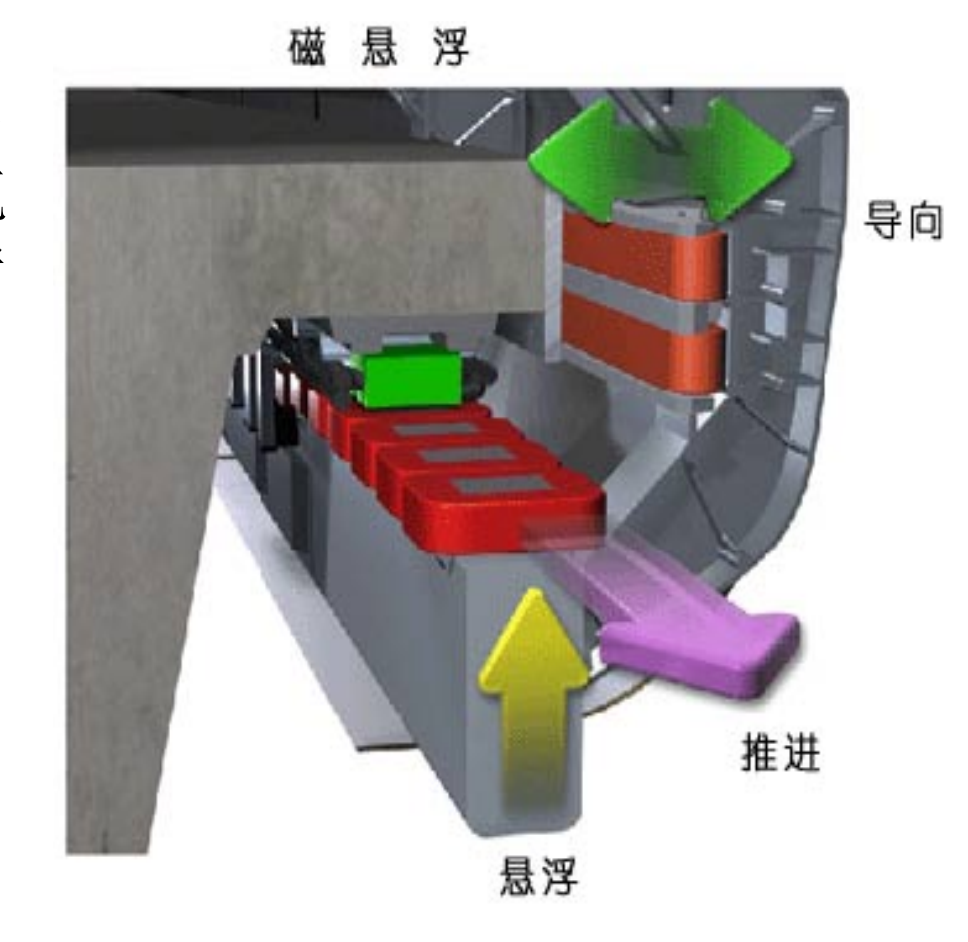
实际模型

- ◆在列车每节车厢两侧底侧,装载有6~8个超导磁侧,装载有6~8个超导磁体,并通过液氦作为冷却系统.
- ◆当列车起到或进站时, 列车依靠车轮行驶,随着 列车加速,导轨线圈通电, 根据Meissner效应,车 与轨之间产生电动斥 力,(数量级为10³N/m²)从 而实现悬浮.



2.悬浮系统

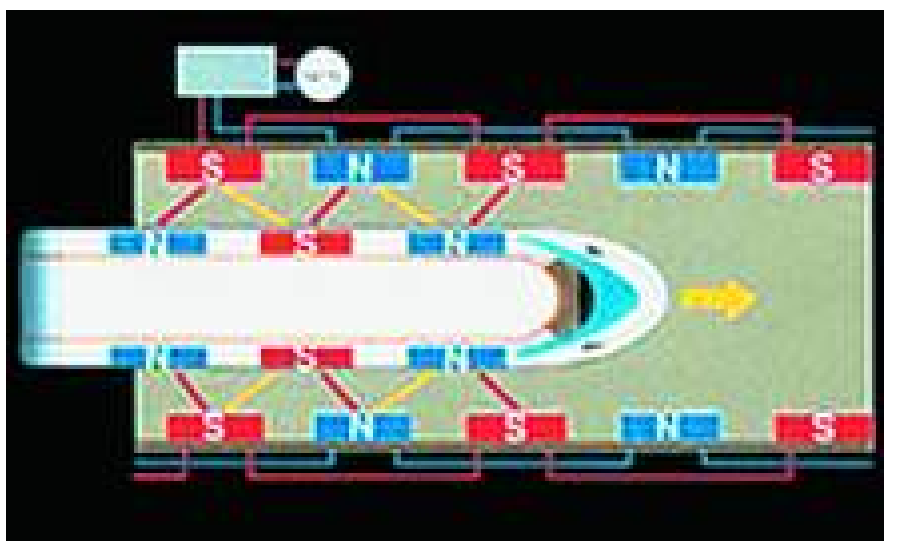
- ◆导向系统依靠轨道两侧的线圈,按照实际所需的横向倾角的大小,对线圈中的交变电流进行调节,进而提供所需的导向力.

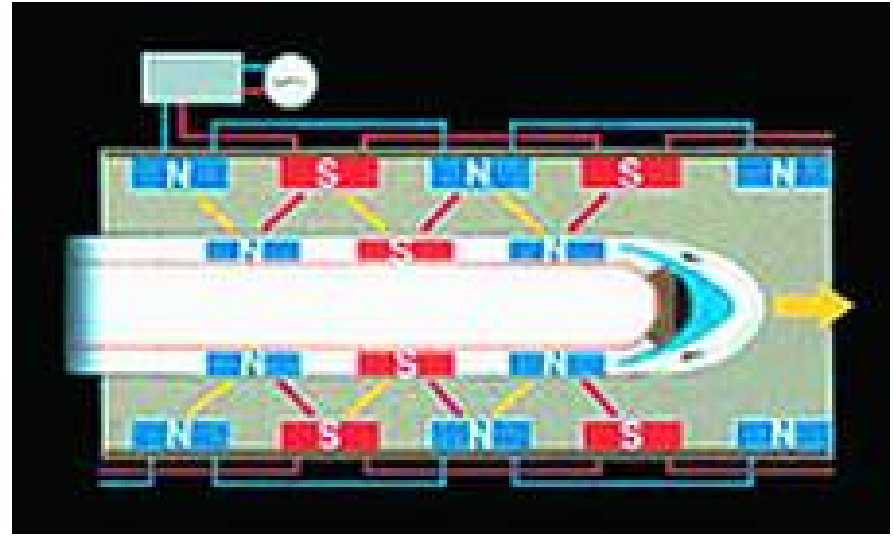


3.动力推进系统

直观模拟:轨道两侧装有线 圈,交流电使线圈变为电 磁体,它与列车上的磁铁 相互作用。列车行驶时车 极)所吸引,同时被轨道 稍后一点的电磁体 所排斥,使列车前进。 在线圈里流动的电流反向, 其结果就是原来那个S极 线圈,现在变为N极线圈 了,反之亦然。

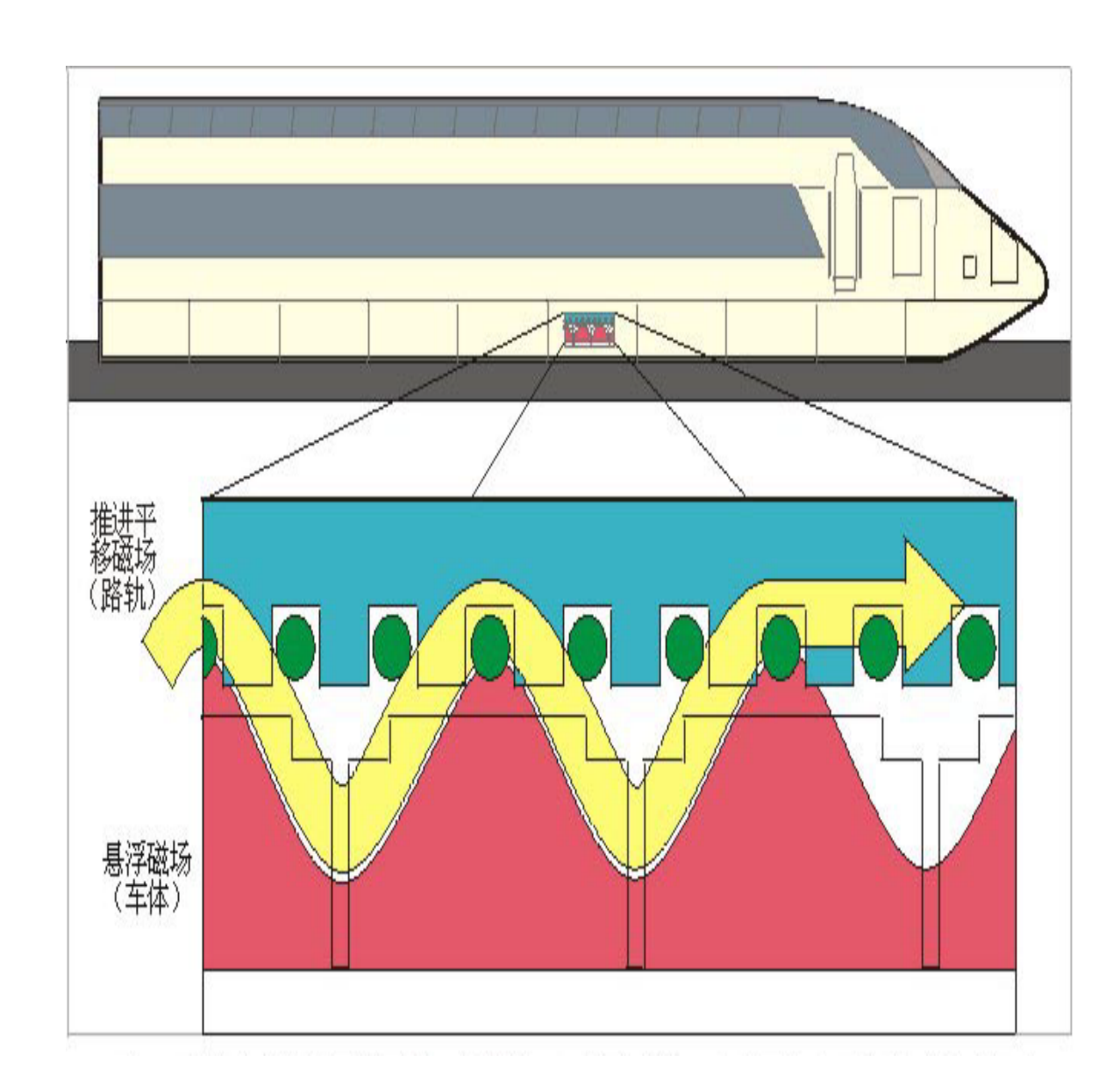
这样,列车由于电磁 极性的转换而得以持续向 前奔驰。





直线电机

直线同步电机:其 初级绕组沿轨道 铺设,次级绕组安 装在车体上, 在初 级绕组中通入三 相交流电,气隙中 产生平移磁场,该 磁场切割次级导 体,产生电磁感应, 诱发磁场,该磁场 与原有平移磁场 方向相反,最终在 路轨和车体间产 生电磁推力.



数学模拟(一)

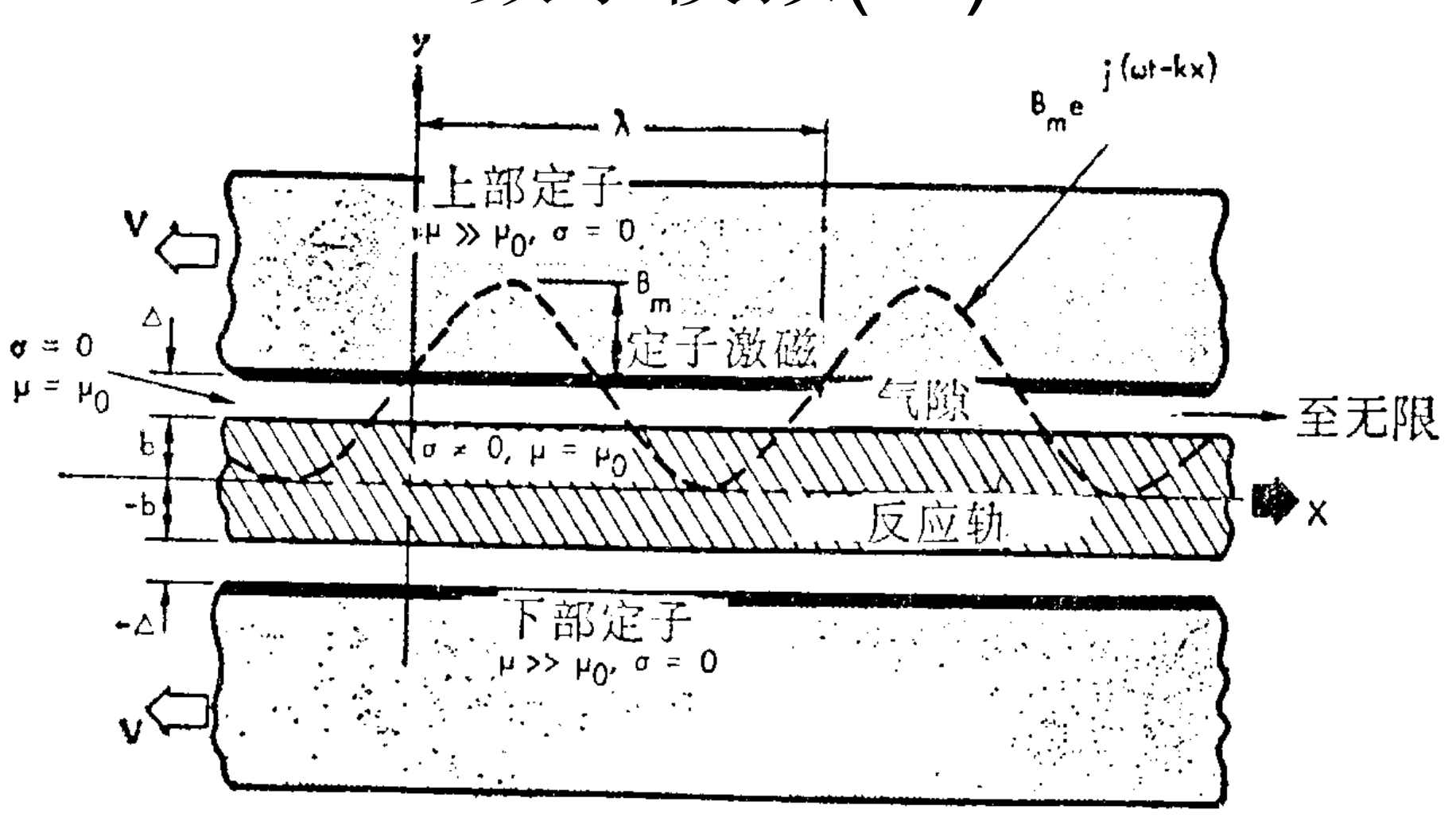


图 3 直线电动机的准一度模拟

数学模拟(二)

Maxwell方程组: $\nabla \cdot B = 0$

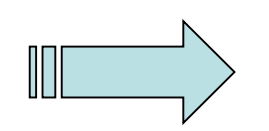
$$\nabla \times E = -\frac{\partial B}{\partial t}$$

$$\nabla \times B = \mu_0(j_0 + \frac{\partial D}{\partial t})$$

空间介质条件: $j_0 = \sigma(E + v \times B)$

$$\frac{\partial D}{\partial t} = 0 \qquad (低頻)$$

$$\nabla^2 A = \mu_0 \sigma \left[\frac{\partial A}{\partial t} - v \times (\nabla \times A) \right] \qquad (1)$$



数学模拟(三)

1.定子绕组电流与转子感应电流的组合效应在定子表面产生磁场: $B = B_m \exp\{i(kx - wt)\}\hat{y}$

其中: $k = \frac{2\pi}{\lambda}$, $w = 2\pi f$, B_m 为峰值,k为波数,w为移动磁场的角频率

2.转子板或反应轨内部: $A_1 = A_{m1} \exp\{i(kx - wt)\}\hat{z}$

$$\frac{\partial^2 A_1}{\partial t^2} - k^2 A_1 = i\mu_0 \sigma(w - kvx) A_1$$

3.在空气隙: $A_2 = A_{m2} \exp\{i(kx - wt)\}\hat{z}$

$$\frac{\partial^2 A_2}{\partial t^2} - k^2 A_2 = 0$$

数学模拟(四)

电磁边界条件:

$$Bx1 = \frac{\partial A1}{\partial y} \bigg| y = 0 = 0$$

$$B_{x1} = B_{x2} \Longrightarrow \frac{\partial A_1}{\partial y} \bigg|_{y = b^-} = \frac{\partial A_2}{\partial y} \bigg|_{y = b^+}$$

$$B_{y1} = B_{y2} \Longrightarrow \frac{\partial A_1}{\partial x} \bigg|_{y=b^-} = \frac{\partial A_2}{\partial x} \bigg|_{y=b^+}$$

$$B_{y2}|_{y=b+\Delta} = \exp\{i(kx-wt)\}$$

数学模拟(五)

取近似条件: $b, \Delta \rightarrow 0$

则可以求得施加于转子每单位体积的切向力:

$$f_x = (j_0 \times B) \cdot \hat{x} = \frac{1}{2} \sigma S v_s B^2$$

初略计算:取铝电导率: $\sigma=3.54\times10^7\Omega/m$

转差率: S=0.1

磁场同步速度: Vs=500km/h

磁感应强度: B=8.0×10⁻³T

 $f_x = 15.7 \text{ KN}$

可见,列车单位体积受力的数量级为KN

数学模拟(六)

转子每单位体积的净输出功率为:

$$P_0 = \frac{1}{2} \sigma S (1 - S) v^2 s B^2_m$$

初略计算: $P_0 = 19.7 \text{kw}$

可见,转子单位体积净输出功率的数量级为kw

性能比较(一)





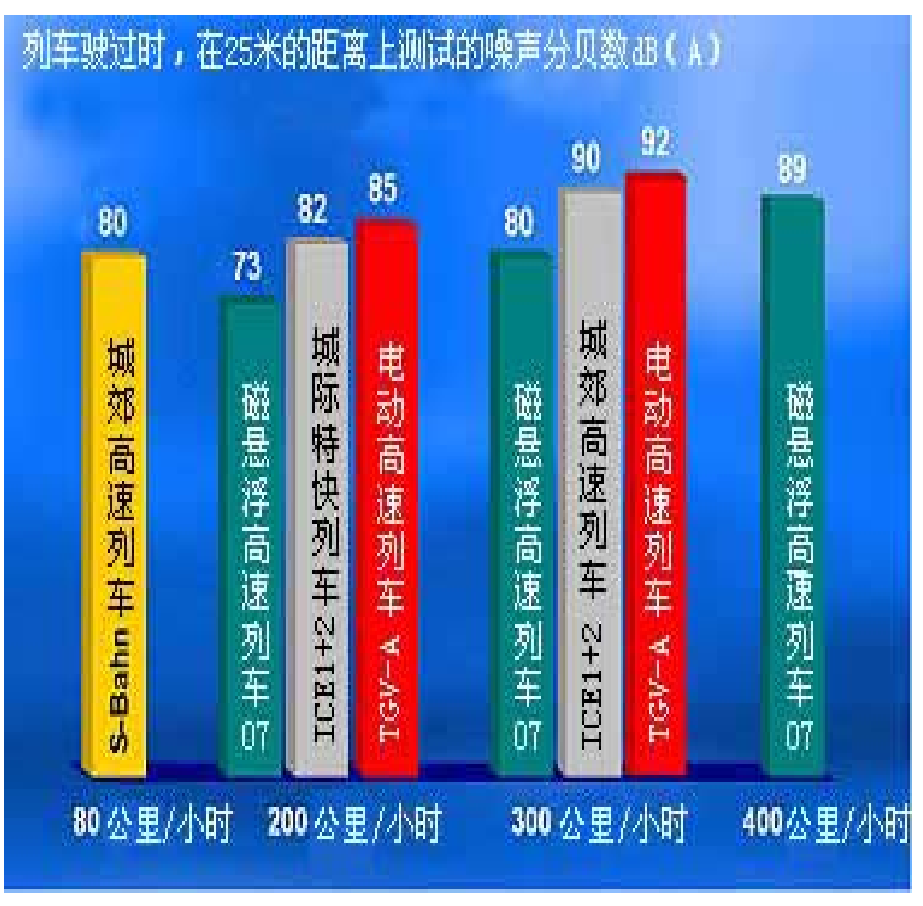
1.安全:

不会脱轨; 单向行驶,不会相撞。

2.最大优势--高速

性能比较(二)





3.电磁辐射小

4.噪声小

性能比较(三)

- 1. 磁悬浮列车的悬浮高度为10~100mm,因此对线路的平整度、路基下沉量及道岔结构方面的要求要比普通列车高.
- 2. 磁悬浮列车的技术要求比普通列车要高得多.
- 3. 车载冷却系统重,且由于涡流效应,悬浮能耗较高.
- 4. 成本方面,维修保养以及能耗等费用较普通列车高。
- 5. 但总而之,由于其高效的运输能力和优越性能,磁悬浮列车还会有很大空间;而对于我们这样一个地域辽阔,经济高速发展,但交通系统基础相对薄弱的国家而言,磁悬浮列车的研究开发具有十分重要的意义.